

соответствующей равновесной конфигурации. С помощью такой диаграммы можно легко обсудить упомянутые выше переходы.

Для лучшего понимания модели конфигурационной координаты набросаем ниже ход мыслей, приводящий к рис. 30.

Исходим из оператора Гамильтонана для системы электрон + решетка

$$\dot{H} = T_e + T_i + V(r, R). \quad (2.88)$$

$T_e$  и  $T_i$  — операторы кинетической энергии электронов и ионов решетки соответственно.  $V(r, R)$  — энергия взаимодействия, в которой

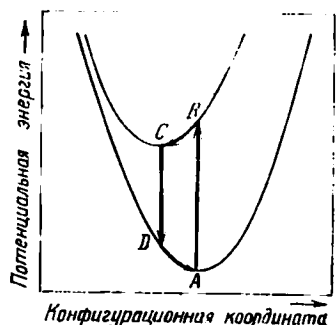


Рис. 30. Модель конфигурационной координаты для описания оптического перехода в дефектах:  $AB$  — возбуждение дефекта,  $BC$  — релаксация решетки (установление новой равновесной конфигурации),  $CD$  — рекомбинация электрона ( $E_{CD} < E_{AB}$ ),  $D_1$  — возвращение решетки в исходную конфигурацию.

координаты электронов объединены в  $r$ , а координаты ионов решетки — в  $R$ .

Для того чтобы расцепить эти две системы, представляем волновую функцию в виде произведения:  $\Psi = \psi(r, R_0)\varphi(R)$ . Здесь подразумевается, что  $\psi$  должно являться решением уравнения Шредингера для основного состояния электрона при фиксированной конфигурации решетки  $R_0$  (положение равновесия ионов решетки):

$$H_e \psi = [T_e + V(r, R_0)]\psi = E(R_0)\psi. \quad (2.89)$$

Оставшаяся часть гамильтониана описывает колебания решетки. Если выразить отклонения ионов решетки  $R - R_0$  через (действительные) нормальные координаты, можно записать для (2.88)

$$H = H_e + \frac{1}{2} \sum_k (P_k^2 + \omega_k^2 Q_k^2). \quad (2.90)$$

Можно рассматривать часть

$$E(R) = E(R_0) + \frac{1}{2} \sum_k \omega_k^2 Q_k^2 \quad (2.91)$$

как потенциальную энергию системы в основном состоянии. Уравнение (2.91) описывает линнюю кривую на рис. 30, на котором  $E$  нанесена как функция одной из  $Q_k$ .